

РАСЧЕТ УСИЛИЙ В ИНДУКЦИОННОЙ ИНДУКТОРНОЙ СИСТЕМЕ ПРЯМОУГОЛЬНОЙ ГЕОМЕТРИИ С НЕФЕРРОМАГНИТНЫМИ МАССИВНЫМ ЭКРАНОМ И ЗАГОТОВКОЙ

Стаття присвячена розрахункам основних характеристик індукційної індукторної системи прямокутної геометрії з неферромагнітним масивним провідним екраном і тонкостінною листовою заготовкою в низькочастотному режимі діючих полів. Одержані аналітичні залежності для розрахунку індуктованих струмів та збуджуваних електродинамічних зусиль, які збуджуються, як притягання, так і відштовхування. Якісний аналіз показує, що інтегральна в часі дія сил притягання має кумулятивний характер.

Стаття посвячена расчётам основных характеристик индукционной индукторной системы прямоугольной геометрии с неферромагнитным массивным проводящим экраном и тонкостенной листовой заготовкой в низкочастотном режиме действующих полей. Получены аналитические зависимости для расчёта индуцированных токов и возбуждаемых электродинамических усилий, как притяжения, так и отталкивания. Качественный анализ показывает, что интегральное во времени действие сил притяжения имеет кумулятивный характер.

ВВЕДЕНИЕ

Постановка проблемы. Индукционные индукторные системы для притяжения листовых металлов впервые были предложены в работе [1]. Там же был описан принцип их действия, в основе которых лежит эффект притяжения проводников с одинаково направленными токами. Поскольку взаимное притяжение испытывали проводники (дополнительный экран и собственно листовая заготовка) с индуцированными токами, в последующих работах такие индукторные системы получили определение "индукционные" [2, 3]

Анализ основных достижений и публикаций.

Первые конструкции индукционных инструментов притяжения содержали тонкостенный экран и листовую заготовку [1 – 3]. Но, как следует из априорных физических соображений, повышение эффективности систем такого рода возможно при использовании массивного проводящего вспомогательного экрана, в специальной полости на граничной поверхности которого со стороны листовой заготовки располагается индуктор в виде двойного витка с рабочей зоной между их параллельными смежными сторонами (рис. 1).

Назначение, именно, массивного экрана состоит в концентрации возбуждаемого магнитного поля в пространстве между индуктором и металлом листовой заготовки, а двойной виток индуктора обеспечивает двукратное увеличение тока в рабочей зоне. Если учесть, что энергия магнитного поля пропорциональна квадрату тока, то его увеличение в два раза означает увеличение энергии на деформирование листовой заготовки, соответственно, в четыре раза.

Цель настоящей работы – получение решений для расчёта электродинамических усилий, возбуждаемых в индукционной индукторной системе с прямоугольным двойным витком, неферромагнитными массивным проводящим экраном и тонкостенной листовой заготовкой в низкочастотном режиме действующих магнитных полей.

В расчётах примем модель (рис. 1), соответствующую центральному поперечному сечению индукторной системы, ортогональному её продольным токопроводам.

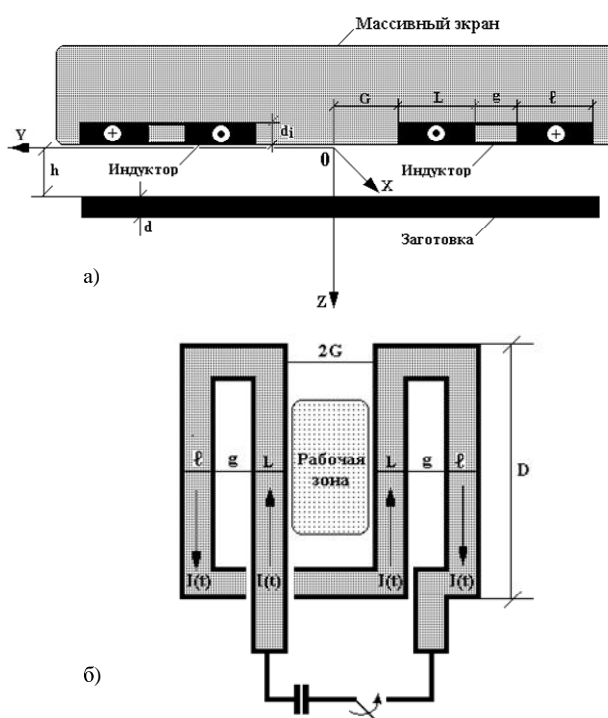


Рис. 1. Расчётная модель индукционной индукторной системы с массивным вспомогательным экраном:
а) поперечное сечение индукторной системы;
б) собственно индуктор

Ориентация осей в принятой системе координат такова, что направление потока энергии к объекту обработки (вектор Пойтинга, $\vec{P}_z = [\vec{E}_x \times \vec{H}_y]$) совпадает с положительным направлением оси OZ .

Для решения задачи примем следующие допущения.

- Массивный вспомогательный экран и заготовка выполнены из одинаковых металлов с удельной электропроводностью γ .

- В измерениях X и Y система достаточно велика ($x, y \rightarrow \infty$), экран также простирается до $z \rightarrow -\infty$, но параметры h, d_i, d много меньше всех поперечных размеров индуктора.

• Протяжённость вдоль оси абсцисс достаточно велика, так что $\frac{\partial}{\partial x} = 0$.

• По токопроводам индуктора течёт ток $I(t)$, его направления в ветвях слева и справа относительно плоскости ZOX (соответственно рис. 1) – одинаковы.

• В системе возбуждается электромагнитное поле с ненулевыми компонентами напряжённости: $E_x \neq 0, H_{y,z} \neq 0$.

В рамках принятых допущений уравнения Максвелла для ненулевых составляющих напряжённости электромагнитного поля, преобразованных по Лапласу (L – преобразование) с учётом нулевых начальных условий принимают вид [4]:

$$\left\{ \begin{array}{l} \frac{\partial H_z(p, y, z)}{\partial y} - \frac{\partial H_y(p, y, z)}{\partial z} = j_x(p, y, z), \end{array} \right. \quad (1)$$

$$\left\{ \begin{array}{l} \frac{\partial E_x(p, y, z)}{\partial z} = -\rho\mu_0 H_y(p, y, z), \end{array} \right. \quad (2)$$

$$\left\{ \begin{array}{l} \frac{\partial E_x(p, y, z)}{\partial y} = \rho\mu_0 H_z(p, y, z), \end{array} \right. \quad (3)$$

где p – параметр преобразования Лапласа;

$$E_x(p, y, z) = L\{E_x(t, y, z)\};$$

$$H_{y,z}(p, y, z) = L\{H_{y,z}(t, y, z)\};$$

$j_x(p, y, z) = L\{j_x(t, y, z)\}$; μ_0 – магнитная проницаемость вакуума.

Плотность тока в правой части уравнения (1) записывается в виде [4]:

$$j_x(p, y, z) \approx \gamma \cdot E_x(p, y, z) + j_{xi}(p, y, z), \quad (4)$$

где $j_{xi}(p, y, z)$ – плотность стороннего тока в индукторе, $j_{xi}(p, y, z) = j(p) \cdot f(y) \cdot \delta(z)$, $j(p)$ – амплитудно-временная зависимость стороннего тока; $f(y)$ – функция поперечного распределения плотности тока; $\delta(z)$ – импульсная функция Дирака.

Геометрическая и электродинамическая симметрия исследуемой системы соответственно рис. 1 позволяет выделить области с однородными электрофизическими характеристиками и считать, что таковыми являются:

а) область металла экрана, $z \in (-\infty, 0)$;

б) пространство между экраном и заготовкой) $z \in (0, h)$;

в) область металла заготовки, $z \in [h, (h+d)]$;

г) свободное полупространство с внешней стороны металлического листа, $z \in [(h+d), \infty]$.

Из дифференциальных уравнений (1 – 3) с учётом выражения (4) в рамках принятых допущений получим уравнения для азимутальной компоненты напряжённости электрического поля $E_x(p, y, z)$ в выделенных областях:

а) $z \in (-\infty, 0)$,

$$\frac{\partial^2 E_x(p, y, z)}{\partial y^2} + \frac{\partial^2 E_x(p, y, z)}{\partial z^2} - (\rho\mu_0\gamma) \cdot E_x(p, y, z) =$$

$$= \rho\mu_0 j(p, y, z)$$

б) $z \in (0, h)$,

$$\frac{\partial^2 E_x(p, y, z)}{\partial y^2} + \frac{\partial^2 E_x(p, y, z)}{\partial z^2} = 0, \quad (6)$$

в) $z \in [h, (h+d)]$,

$$\frac{\partial^2 E_x(p, y, z)}{\partial y^2} + \frac{\partial^2 E_x(p, y, z)}{\partial z^2} = \gamma \cdot E_x(p, y, z), \quad (7)$$

г) $z \in [(h+d), \infty]$,

$$\frac{\partial^2 E_x(p, y, z)}{\partial y^2} + \frac{\partial^2 E_x(p, y, z)}{\partial z^2} = 0. \quad (8)$$

Для решения уравнений (5 – 8) применим интегральное косинус-преобразование Фурье. Его допустимость обусловлена геометрической и электрической симметрией рассматриваемой задачи относительно оси аппликат.

Таким образом, имеем, что

$$\left\{ \begin{array}{l} E_x(p, y, z) = \int_0^{\infty} E_x(p, \lambda, z) \cdot \cos(\lambda y) d\lambda, \end{array} \right. \quad (9)$$

$$\left\{ \begin{array}{l} j_x(p, y, z) = \int_0^{\infty} j_x(p, \lambda, z) \cdot \cos(\lambda y) d\lambda, \end{array} \right. \quad (10)$$

где $j_x(p, \lambda, z) = j(p) f(\lambda) \delta(z)$;

$$f(\lambda) = \frac{2}{\pi} \cdot \int_0^{\infty} f(y) \cdot \cos(\lambda y) dy.$$

С учётом (9) и (10) уравнения (5 – 8) преобразуются к виду:

а) $z \in (-\infty, 0)$,

$$\frac{d^2 E_x(p, \lambda, z)}{dz^2} - q^2(p, \lambda) \cdot E_x(p, \lambda, z) = ; \quad (11)$$

$$= K(p, \lambda) \cdot \eta(z + d_i)$$

где $K(p, \lambda) = \mu_0 \cdot p \cdot j(p) \cdot f(\lambda)$; $\eta(z)$ – ступенчатая функция Хевисайда.

б) $z \in (0, h)$

$$\frac{d^2 E_x(p, \lambda, z)}{dz^2} - \lambda^2 \cdot E_x(p, \lambda, z) = 0. \quad (12)$$

в) $z \in [h, (h+d)]$,

$$\frac{d^2 E_x(p, \lambda, z)}{dz^2} - q^2(p, \lambda) \cdot E_x(p, \lambda, z) = 0, \quad (13)$$

где $q(p, \lambda) = \sqrt{\lambda^2 + p \cdot \mu_0 \cdot \gamma}$ – волновое число в металле с удельной электропроводностью γ ,

г) $z \in [(h+d), \infty]$,

$$\frac{d^2 E_x(p, \lambda, z)}{dz^2} - \lambda^2 \cdot E_x(p, \lambda, z) = 0 \quad (14)$$

Общие интегралы уравнений (11 – 14) в выделенных областях дают выражения для напряжённости электрического поля. Уравнение Максвелла (2) позволяет получить соответствующие формулы для тангенциальной компоненты напряжённости магнитного поля в выделенных областях принятой расчётной модели:

а) в металле массивного экрана, где $z \in (-\infty, 0)$, уравнениям (11), (2) и условию ограниченности при $z \rightarrow -\infty$ удовлетворяют функции:

$$E_x^{(1)}(p, \lambda, z) = C(p, \lambda) \cdot e^{q(p, \lambda) \cdot z} + \frac{K(p, \lambda)}{q^2(p, \lambda)} \eta(z + d_i) (ch(q(p, \lambda)(z + d_i)) - 1), \quad (15)$$

$$H_y^{(1)}(p, \lambda, z) = \frac{q(p, \lambda)}{p\mu_0} \left[C(p, \lambda) \cdot e^{q(p, \lambda) \cdot z} + \frac{K(p, \lambda)}{q^2(p, \lambda)} \eta(z + d_i) \cdot sh(q(p, \lambda)(z + d_i)) \right], \quad (16)$$

где $C(p\lambda)$ – произвольная постоянная интегрирования, б) в пространстве между экраном и листовой заготовкой, $z \in (0, h)$:

$$E_x^{(2)}(p, \lambda, z) = D_1(p, \lambda) \cdot e^{\lambda \cdot z} + D_2(p, \lambda) \cdot e^{-\lambda \cdot z}, \quad (17)$$

$$H_y^{(2)}(p, \lambda, z) = \frac{\lambda}{p\mu_0} \cdot [D_1(p, \lambda) \cdot e^{\lambda \cdot z} - D_2(p, \lambda) \cdot e^{-\lambda \cdot z}], \quad (18)$$

где $D_{1,2}(p, \lambda)$ – произвольные постоянные интегрирования,

в) в области металла листовой заготовки, $z \in [h, (h+d)]$:

$$E_x^{(3)}(p, \lambda, z) = A_1(p, \lambda) \cdot e^{q(p, \lambda)(z-h)} + A_2(p, \lambda) \cdot e^{-q(p, \lambda)(z-h)}, \quad (19)$$

$$H_x^{(3)}(p, \lambda, z) = \frac{q(p, \lambda)}{p\mu_0} \cdot [A_1(p, \lambda) \cdot e^{q(p, \lambda)(z-h)} - A_2(p, \lambda) \cdot e^{-q(p, \lambda)(z-h)}], \quad (20)$$

где $A_{1,2}(p, \lambda)$ – произвольные постоянные интегрирования.

г) в свободном полупространстве с внешней стороны листовой заготовки, $z \in [(h+d), \infty]$, и условию ограниченности при $z \rightarrow \infty$ удовлетворяет функция:

$$E_x^{(4)}(p, \lambda, z) = B(p, \lambda) \cdot e^{-\lambda(z-(h+d))}, \quad (21)$$

$$H_y^{(4)}(p, \lambda, z) = -\frac{\lambda}{p\mu_0} \cdot B(p, \lambda) \cdot e^{-\lambda(z-(h+d))}, \quad (22)$$

где $B(p\lambda)$ – произвольная постоянная интегрирования.

Неизвестные постоянные интегрирования находятся из условия непрерывности касательных компонент напряжённости электромагнитного поля на границах выделенных областей:

$$1) z=0, \begin{cases} C(p, \lambda) - \frac{K(p, \lambda)}{q^2(p, \lambda)} \cdot [ch(q(p, \lambda)d_i) - 1] = \\ = D_1(p, \lambda) + D_2(p, \lambda); \\ C(p, \lambda) + \frac{K(p, \lambda)}{q^2(p, \lambda)} \cdot sh(q(p, \lambda)d_i) = \\ = \frac{\lambda}{q(p, \lambda)} \cdot D_1(p, \lambda) - D_2(p, \lambda); \end{cases} \quad (23)$$

$$2) z=h, \begin{cases} D_1(p, \lambda) \cdot e^{\lambda h} + D_2(p, \lambda) \cdot e^{-\lambda h} = A_1(p, \lambda) + A_2(p, \lambda); \\ D_1(p, \lambda) \cdot e^{\lambda h} - D_2(p, \lambda) \cdot e^{-\lambda h} = \frac{q(p, \lambda)}{\lambda} \times \\ \times (A_1(p, \lambda) - A_2(p, \lambda)); \end{cases} \quad (24)$$

$$3) z=(h+d),$$

$$\begin{cases} A_1(p, \lambda) \cdot e^{q(p, \lambda)d} + A_2(p, \lambda) \cdot e^{-q(p, \lambda)d} = B(p, \lambda); \\ \frac{q(p, \lambda)}{\lambda} \cdot (A_1(p, \lambda) \cdot e^{q(p, \lambda)d} - A_2(p, \lambda) \cdot e^{-q(p, \lambda)d}) = \\ = -B(p, \lambda); \end{cases} \quad (25)$$

Для низкочастотного режима можно считать, что $|p\mu_0\gamma| \rightarrow 0$, $q(p, \lambda) \approx \lambda$. [2, 3].

В этом случае из систем линейных алгебраических уравнений следует, что

$$\begin{cases} A_1(p, \lambda) = D_1(p, \lambda) = 0, \\ C(p, \lambda) = \frac{K(p, \lambda)}{2\lambda^2} \cdot (1 - e^{\lambda d_i}), \\ A_2(p, \lambda) = \frac{K(p, \lambda)}{2\lambda^2} \cdot e^{-\lambda h} \cdot (1 - e^{\lambda d_i}). \end{cases}$$

Значение $C(p\lambda)$ подставим в (15). Полученный результат умножим на удельную электропроводность γ . Выполняя обратные преобразования Фурье и Лапласа, получаем, что в экране возбуждается вихревой ток с плотностью:

$$j_x^{(1)}(\varphi, y, z) = j_m \cdot \frac{dj(\varphi)}{d\varphi} \cdot \left(\frac{\omega\tau}{d_i \cdot d^2} \right) \cdot \int_0^\infty \frac{f(\lambda)}{\lambda^2} \cdot \cos(\lambda y) \times \\ \times \left(\frac{1 - e^{\lambda d_i}}{2} \cdot e^{\lambda z} + \eta(z + d_i) \cdot [ch(\lambda \cdot (z + d_i)) - 1] \right) d\lambda, \quad (26)$$

где j_m – линейная плотность тока в токопроводах индуктора, $j_m = \frac{I_m}{L}$; $j(\varphi)$; – зависимость тока индуктора от фазы – $\varphi = \omega t$, ω – круговая частота; $\tau = \mu_0 \cdot \gamma \cdot d^2$ – характерное время диффузии поля в проводящий слой с удельной электропроводностью γ и толщиной d .

Интегрируя выражение (26) по переменной $z \in (-\infty, 0)$, находим линейную плотность тока, индуцированного в металле массивного экрана.

$$J_x^{(1)}(\varphi, y) = \frac{2}{\pi} \cdot j_m \cdot (\omega\tau) \cdot \left(\frac{d}{d_i} \right) \cdot \frac{dj(\varphi)}{d\varphi} \cdot \int_0^\infty \frac{F(x)}{x^4} \times \\ \times \left[\left(\frac{1 - e^{-x \cdot \frac{d_i}{d}}}{2} \right) + \left(sh\left(x \cdot \frac{d_i}{d}\right) - \left(x \cdot \frac{d_i}{d}\right) \right) \right] \cos\left(x \cdot \frac{y}{d}\right) dx, \quad (27)$$

где x – новая безразмерная переменная интегрирования, $x = \lambda \cdot d$, $F(x)$ – Фурье-образ поперечного распределения тока индуктора в терминах переменной x .

Из (19) получаем, что заготовке возбуждается вихревой ток с плотностью:

$$j_x^{(3)}(\varphi, y, \zeta) = -j_m \frac{dj(\varphi)}{d\varphi} \left(\frac{\omega\tau}{2d_i d^2} \right) \times \\ \times \int_0^\infty \frac{f(\lambda)}{\lambda^2} \cos(\lambda y) e^{-\lambda h} (1 - e^{\lambda d_i}) \cdot e^{-\lambda \zeta} d\lambda, \quad (28)$$

где $\zeta \in [0, d]$ переменная, связанная с толщиной собственно листовой заготовки.

Интегрируя выражение (28) по $\zeta \in [0, d]$, найдем линейную плотность тока, индуцированного в заготовке:

$$J_x^{(3)}(\varphi, y) = -\frac{2}{\pi} \cdot j_m \cdot \frac{(\omega\tau)}{2} \left(\frac{d}{d_i} \right) \frac{dj(\varphi)}{d\varphi} \times \int_0^\infty \frac{F(x)}{x^4} \cos\left(x \frac{y}{d}\right) e^{-x \frac{h}{d}} \left(1 - e^{-x \frac{d_i}{d}}\right) (1 - e^{-x}) dx \quad (29)$$

Пусть токи в индукторе распределены равномерно. Тогда:

$$f(X) = [\eta(\lambda G - |X|) - \eta(\lambda(G+L) - |X|)] - \frac{L}{l} \cdot [\eta(\lambda(G+L+g) - |X|) - \eta(\lambda(G+L+g+l) - |X|)], \quad X = \lambda \cdot y. \quad (30)$$

Фурье-образ функции (30):

$$F(x) = 2 \cdot \left[\left(\sin\left(x \frac{0.5L}{d}\right) \cdot \cos\left(x \frac{G+0.5L}{d}\right) \right) - \frac{L}{l} \left(\sin\left(x \frac{0.5l}{d}\right) \cdot \cos\left(x \frac{(G+L+g)+0.5l}{d}\right) \right) \right] \quad (31)$$

Далее положим, что $d_i \rightarrow 0$. Тогда

$$J_x^{(1)}(\varphi, y) = \frac{1}{\pi} \cdot j_m \cdot (\omega\tau) \cdot \frac{dj(\varphi)}{d\varphi} \cdot \int_0^\infty \frac{F(x)}{x^3} \cdot \cos\left(x \frac{y}{d}\right) dx \quad (32)$$

$$J_x^{(3)}(\varphi, y) = -\frac{1}{\pi} \cdot j_m \cdot (\omega\tau) \cdot \frac{dj(\varphi)}{d\varphi} \times \int_0^\infty \frac{F(x)}{x^3} \cdot \cos\left(x \frac{y}{d}\right) \cdot e^{-x \frac{h}{d}} \cdot (1 - e^{-x}) dx \quad (33)$$

В соответствии с законом Ампера о силовом взаимодействии проводников с токами записываем формулу для распределенной силы притяжения, действующей на листовую заготовку при жестко фиксированном экране:

$$P_{attr}(\varphi, y) = -P_m^{(1)} \cdot \left(\frac{dj(\varphi)}{d\varphi} \right)^2 \cdot \Phi_1(y), \quad (34)$$

где

$$P_m^{(1)} = \left(\frac{\mu_0 \cdot j_m^2}{2} \right) \cdot (\omega \cdot \tau)^2 \cdot \frac{D}{\pi^3 \cdot h},$$

$$\Phi_1(y) = \left[\int_0^\infty \frac{F(x)}{x^3} \cdot \cos\left(x \frac{y}{d}\right) dx \right] \times \left[\int_0^\infty \frac{F(x)}{x^3} \cdot e^{-x \frac{h}{d}} \cdot (1 - e^{-x}) \cdot \cos\left(x \frac{y}{d}\right) dx \right]$$

Аналитические выражения для токов и возбуждаемых усилий представляют собой решение поставленной задачи и позволяют производить необходимые численные оценки.

ВЫВОДЫ

Полученные результаты стоит дополнить лишь качественными замечаниями.

- Из формул следуют все физические особенности, присущие ранее рассмотренным конструкциям индукционных индукторных систем и обеспечивающие их работоспособность [2, 3].

- Вычисление импульса силы притяжения показывает кумулятивный характер деформаций в период действия импульса, так как

$$S_{attr} = \int_0^\infty P_{attr}(\varphi, y) d\varphi \sim \int_0^\infty \left(\frac{dj(\varphi)}{d\varphi} \right)^2 d\varphi > 0.$$

СПИСОК ЛИТЕРАТУРЫ

1. Батыгин Ю.В., Лавинский В.И., Хименко Л.Т., Физические основы возможных направлений развития магнитно-импульсной обработки тонкостенных металлов. // Электротехника і електромеханіка. Харків. 2004, №2, С. 80-84.
2. Батыгин Ю.В., Бондаренко А.Ю., Чаплыгин Е.А., Цилиндрическая индукционная индукторная система для притяжения тонкостенных листовых металлов. // Авиационно-космическая техника и технология. Харьков: 2007. №11 (47), С. 109-117.
3. Батыгин Ю.В., Бондаренко А.Ю., Сериков Г.С., Индукционная индукторная система прямоугольной геометрии для притяжения тонкостенных листовых металлов. // Авиационно-космическая техника и технология. Харьков: 2008. № 2 (49), С. 45-50.
4. Батыгин Ю.В., Лавинский В.И., Хименко Л.Т., Импульсные магнитные поля для прогрессивных технологий (научное издание, 2-е переработанное и дополненное). Под общей ред. проф., д.т.н. Батыгина Ю.В. Харьков: Изд. "МОСТ-Торнадо". 287 с.

Поступила 24.11.2008

Батыгин Юрий Викторович, д.т.н., проф.,
Гнатюк Андрей Викторович, к.т.н., с.н.с.,
Сериков Георгий Сергеевич
Харьковский национальный
автомобильно-дорожный университет
61002, Харьков, ул. Петровского, 25, ХНАДУ,
кафедра "Автомобильная электроника"
тел. (8-057) 700-38-52, E-mail: batygin48@mail.ru,
kalifus@yandex.ru, georgy301@rambler.ru.